

Вестник МОСКОВСКОГО УНИВЕРСИТЕТА

№ 6 — 1972

А. Х. Ш. БУХАРИ, И. И. МИНАКОВА, А. Г. ФЕДОСЕЕВ

ПАРАМЕТРИЧЕСКАЯ СИНХРОНИЗАЦИЯ АВТОГЕНЕРАТОРОВ С ЗАПАЗДЫВАНИЕМ В ЦЕПИ ОБРАТНОЙ СВЯЗИ И НЕЛИНЕЙНЫМ КОНТУРОМ

Рассмотрены стационарные режимы автогенератора с нелинейным контуром и запаздывающей обратной связью при модуляции реактивного параметра. Получены амплитудные кривые в области параметрической синхронизации. Исследованы условия устойчивости.

Параметрическая синхронизация автогенераторов изучается как для модуляции отрицательного сопротивления [1, 2, 3], так и для модуляции одного из реактивных параметров контура [4].

Особенности параметрической синхронизации при наличии нелинейного контура и запаздывания в обратной связи (т. е. в первую очередь для генераторов СВЧ диапазона) практически не раскрыты. Только проведено исследование [5] потенциально-автоколебательного режима автогенератора с запаздыванием в обратной связи с линейным контуром.

Для многих типов автогенераторов с нелинейным контуром или резонатором при наличии запаздывания в обратной связи уравнение движения при параметрическом воздействии на реактивный параметр может быть записано в виде

$$\ddot{x} + 2\delta\dot{x} + M\omega_0^2(S_0 - S_2x^2)\dot{x}_\tau + \omega_0^2(1 + m\cos 2pt)x + \gamma x^3 = 0. \quad (1)$$

При этом предполагается, что автогенератор одночастотный, нелинейность и глубина модуляции m параметра малы, нелинейный активный элемент имеет симметричную кубическую характеристику, такой же вид имеет и характеристика нелинейного реактивного элемента. При указанных условиях в полосе параметрической синхронизации и при расстройках мало превышающих расстройку, соответствующие границам полосы, движение в системе может быть записано так:

$$x = A \sin(pt - \Phi). \quad (2)$$

Рассматривая задачу для постоянного запаздывания τ , предполагаем, что

$$x_\tau = A \sin[p(t - \tau) - \Phi]. \quad (3)$$

В (2) и (3) A и Φ — зависящие от времени медленно меняющиеся величины.

Уравнения установления можно привести в виде

$$\frac{dA}{dt} = -\delta_{0\tau} A - \frac{1}{4} \delta_{2\tau} A^3 + \frac{1}{4} \frac{1}{p} m \omega_0^2 A \sin 2\Phi, \quad (4)$$

$$\frac{d\Phi}{dt} = \frac{p^2 - \omega_0^2}{2p} - \frac{M\omega_0^2}{2} \sin p\tau S_0 + \frac{1}{8} MS_2 \omega_0^2 A^2 \sin p\tau - \frac{3}{8} \frac{1}{p} \gamma A^2 + \frac{1}{4} \frac{1}{p} m \omega_0^2 \cos 2\Phi, \quad (5)$$

$$\delta_{0\tau} = \delta + \frac{1}{2} M\omega_0 S_0 \cos p\tau, \quad \delta_{2\tau} = \frac{1}{2} M\omega_0^2 S_2 \cos p\tau. \quad (6)$$

В автоколебательном режиме $\delta_{0\tau} < 0$ при $m=0$ амплитуда стационарного автономного режима равна

$$A_{0\tau}^2 = 4 \frac{|\delta_{0\tau}|}{\delta_{2\tau}}. \quad (7)$$

В стационарном синхронном режиме из (4) и (5) можно записать амплитудную кривую:

$$\Delta = \pm \sqrt{\left(\frac{m\omega_0^2}{4p}\right)^2 - \left(\frac{\delta_{2\tau}}{4}\right)^2 (A^2 - A_{0\tau}^2)^2 + \frac{3}{8} \left(\gamma - \frac{p}{3} MS_2 \omega_0^2 \sin p\tau\right) \frac{1}{p} A^2 + \frac{1}{2} MS_0 \omega_0^2 \sin p\tau}, \quad (8)$$

где $\Delta = p - \omega_0$ и $\frac{p + \omega_0}{2p} \approx 1$.

Амплитудная кривая (8), построенная на плоскости Δ, A^2 имеет вид замкнутой кривой второго порядка и симметрична относительно скелетной прямой — линии частот автоколебаний в автономном режиме:

$$\Delta' = \frac{3}{8} \left(\gamma - \frac{p}{3} MS_2 \omega_0^2 \sin p\tau\right) \frac{1}{p} A^2 + \frac{1}{2} M \omega_0^2 S_0 \sin p\tau. \quad (9)$$

Как следует из (9), частота автоколебаний в автономном режиме имеет фиксированный сдвиг относительно собственной частоты колебательной системы, обусловленный запаздыванием $\Delta_\tau = \frac{1}{2} M \omega_0^2 S_0 \sin p\tau$.

Наличие нелинейного реактивного элемента контура и реактивной составляющей тока через нелинейный активный элемент при $\tau = \text{const}$ приводит к появлению зависимости частоты автоколебаний от амплитуды. При этом можно ввести обозначение

$$\gamma_\tau' = \frac{p}{3} MS_2 \omega_0^2 \sin p\tau \quad \text{и} \quad \gamma_\tau = \gamma - \gamma_\tau'.$$

Тогда уравнение (9) можно переписать в виде

$$\Delta' = \Delta_\tau + \frac{3}{8} \frac{1}{p} \gamma_\tau A^2. \quad (10)$$

Наличие запаздывания $\tau \neq 0$ может усилить, ослабить или компенсировать влияние на частоту автоколебаний нелинейности, вносимой в автоколебательную систему нелинейным реактивным параметром.

Исследуя устойчивость найденных стационарных решений, из (4) и (5) получим амплитудное условие устойчивости

$$A^2 > \frac{1}{2} A_{0\tau}^2 \quad (11)$$

и фазовое (условие вертикальных касательных)

$$\Delta < \frac{\delta_{2\tau}^2}{\left(\frac{6\gamma}{p} - 2MS_2\omega_0^2 \sin p\tau\right)} (A^2 - A_{0\tau}^2) + \Delta_\tau + \frac{3}{8} \frac{1}{p} \gamma_\pi A^2. \quad (12)$$

Разберем более подробно изменение вида амплитудной кривой в зависимости от параметров автогенератора. Если положить $\tau=0$ и $\gamma=0$, то (8), (11) и (12) приобретут вид

$$\Delta = \pm \sqrt{\left(\frac{m\omega_0^2}{4p}\right)^2 - \left(\frac{\delta_2}{4}\right)^2 (A^2 - A_0^2)^2} \quad (13)$$

$$A^2 > \frac{1}{2} A_0^2, \quad (14)$$

$$A^2 > A_0^2 \text{ или } \sin 2\Phi > 0. \quad (15)$$

На рис. 1 построена амплитудная кривая (13). Пунктиром обозначена неустойчивая часть амплитудной кривой и нереализуемые случаи $A^2 < 0$.

В стационарном режиме из (4) получим зависимость амплитуды от фазы

$$A^2 = A_0^2 + \frac{m\omega_0}{\delta^2} \sin 2\Phi, \quad (16)$$

откуда с учетом (15) следует, что параметрическая синхронизация в системе может происходить только при параметрической подкачке энергии за счет источника, изменяющего параметр.

Из (13) можно получить выражение для максимальной устойчивой амплитуды:

$$A_{\max}^2 = A_0^2 + \frac{m\omega_0}{\delta_2} \quad (17)$$

при оптимальной фазе $\Phi = \frac{\pi}{4}$ и $\Delta = 0$.

Как видно из (17), приращение энергии в системе при $\Delta=0$ зависит только от глубины модуляции реактивного параметра m и от величины нелинейного затухания δ_2 . Следовательно, если характеристика нелинейного элемента и обратная связь неизменны, то при увеличении затухания контура A_0^2 уменьшается, но амплитудная кривая (13), оставаясь по форме неизменной, опускается вниз по оси A^2 , пока A_0^2 не станет равным нулю. Нелинейный коэффициент затухания δ_2 при этом

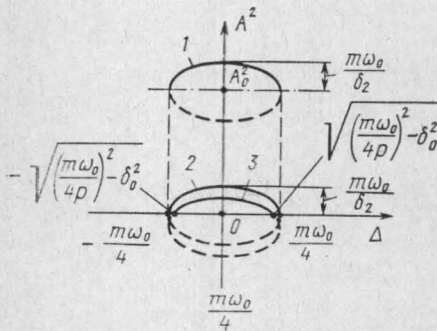


Рис. 1. Амплитудные кривые при $\gamma=0$ и $\tau=0$. 1 — $\delta_0 < 0$, 2 и 3 $\delta_0 = 0$

не изменяется, соответственно и разность $A_{\max}^2 - A_0^2$ остается неизменной при $m = \text{const}$.

Если же уменьшить A_0^2 за счет уменьшения обратной связи, то отклик системы на параметрическое воздействие будет несколько другим. По мере уменьшения $|M|$ амплитудная кривая также опускается вниз по оси A^2 . Однако одновременно она вытягивается по оси A^2 , так как по мере уменьшения нелинейного затухания

$$\delta_2 = \frac{1}{2} |M| S_2 \omega_0^2 \quad (18)$$

разность $A_{\max}^2 - A_0^2$ увеличивается при $m = \text{const}$.

При $\delta_0 < 0$, т. е. пока система автоколебательна, полоса параметрической синхронизации остается неизменной при любых изменениях затухания контура и величины обратной связи (в пределах применимости гармонического приближения). Она равна полосе синхронизации консервативной системы:

$$\Delta_{\text{гр}} = \pm \frac{m\omega_0}{4}. \quad (19)$$

При переходе автогенератора в потенциально-автоколебательный режим, границы областей параметрического возбуждения определяются выражением

$$\Delta_{\text{гр}} = \pm \sqrt{\left(\frac{m\omega_0^2}{4\rho}\right)^2 - \delta_0^2}. \quad (20)$$

Область параметрического возбуждения колебаний обращается в нуль при $\frac{m\omega_0^2}{4\rho} = \delta_0$. При этом обращается в нуль и максимальная амплитуда параметрически возбуждаемых колебаний.

В случае $\tau = 0$ и $\gamma \neq 0$ (8) перейдет в

$$\Delta = \pm \sqrt{\left(\frac{m\omega_0^2}{4\rho}\right)^2 - \left(\frac{\delta_2}{4}\right)^2 (A^2 - A_0^2)^2} + \frac{3}{8\rho} \gamma A^2. \quad (21)$$

Амплитудное условие устойчивости будет иметь вид (14), а фазовое

$$\Delta < \frac{\rho}{6\gamma} \delta_2^2 (A^2 - A_0^2) + \frac{3}{8\rho} \gamma A^2, \quad (22)$$

значение квадрата максимальной амплитуды определяется уже при $\Delta \neq 0$. Однако выражение для A_{\max}^2 совпадает с (17). На рис. 2 показаны две амплитудные кривые (21) для различных значений $\gamma > 0$. С увеличением γ увеличивается наклон скелетной прямой

$$\Delta' = \frac{3}{8\rho} \gamma A^2. \quad (23)$$

Как видно из рис. 2, при малых γ , т. е. $\gamma = \gamma_1$ по-прежнему устойчивость определяется фазовым условием (22), при больших γ , т. е. $\gamma = \gamma_2$ существенным может оказаться и амплитудное условие (14).

Вследствие наклона амплитудной кривой (21) полоса синхронизации определяется неоднозначно при изменениях расстройки Δ от меньших по абсолютной величине значений к большим и наоборот. В случае

изменения Δ от больших значений к меньшим, полоса синхронизации мало отличается от полосы синхронизации консервативной системы.

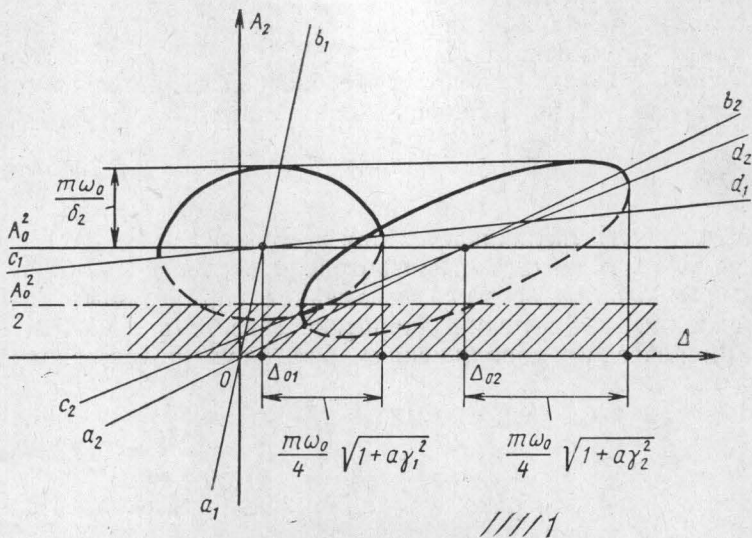


Рис. 2. Амплитудные кривые при $\gamma \neq 0$ и $\tau = 0$. $a_1 b_1$ и $a_2 b_2$ — скелетные прямые, $c_1 d_1$ и $c_2 d_2$ — граница устойчивости по 2-му условию для γ_1 и γ_2 соответственно. 1 — неустойчивые по первому условию устойчивости; $\gamma_2 > \gamma_1$

При изменении расстройки Δ от меньших значений к большим полоса

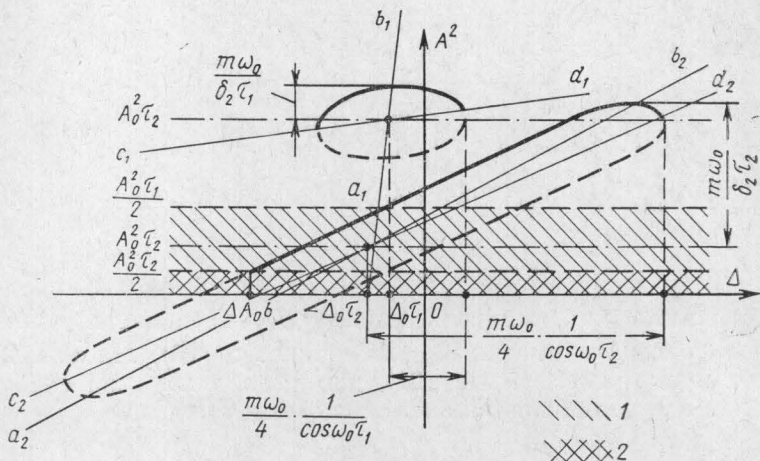


Рис. 3. Амплитудные кривые при $\gamma = 0$ и $\tau \neq 0$. Обозначения те же, что на рис. 2. Неустойчивые по первому условию устойчивости: 1 — для τ_1 , 2 — для τ_2 ; $\tau_2 > \tau_1$

синхронизации зависит от γ и увеличивается с увеличением γ при $m = \text{const}$.

В случае $\gamma = 0$, $\tau \neq 0$ (8) перейдет в

$$\Delta = \pm \sqrt{\left(\frac{m\omega_0^2}{4\rho}\right)^2 - \left(\frac{\delta_{2\tau}}{4}\right)^2 (A^2 - A_{0\tau}^2)^2} - \frac{|M|}{2} \omega_0^2 \left(S_0 - \frac{1}{4} S_2 A^2\right) \sin \rho\tau. \quad (24)$$

Амплитудное условие устойчивости будет иметь вид (11), а фазовое примет вид

$$\Delta < \frac{1}{4} \delta_{2\tau} \frac{1}{\operatorname{tg} \rho\tau} (A^2 - A_{0\tau}^2) - \frac{1}{2} |M| \omega_0^2 \sin \rho\tau \left(S_0 - \frac{1}{4} S_2 A^2\right). \quad (25)$$

Значение квадрата максимальной амплитуды равно

$$A_{\max}^2 = A_{0\tau}^2 + \frac{m\omega_0}{\delta_{2\tau}}. \quad (26)$$

На рис. 3 показаны две амплитудные кривые для случая $\sin \rho\tau > 0$. Одна амплитудная кривая построена при запаздывании близком к оптимальному (τ_1). В этом случае устойчивая часть амплитудной кривой отсекается фазовым условием устойчивости (25) в точках вертикальных касательных.

Другая амплитудная кривая построена при запаздывании далеко от оптимального (τ_2).

С увеличением пролетного угла $\rho\tau$ нелинейный коэффициент затухания $\delta_{2\tau}$ (см. (6)) уменьшается, что приводит к изменению отклика системы на параметрическое воздействие, при неизменном m амплитудная кривая вытягивается вдоль скелетной прямой:

$$\Delta' = \left(\frac{1}{8} |M| \omega_0^2 S_2 A^2 - \frac{1}{2} |M| \omega_0^2 S_0\right) \sin \rho\tau. \quad (27)$$

Как видно из (26), разность $A_{\max}^2 - A_{0\tau}^2$ с уменьшением $\delta_{2\tau}$ увеличивается.

Из (6) и (9) следует, что с изменением запаздывания τ меняются коэффициенты линейного $\delta_{0\tau}$ и нелинейного $\delta_{2\tau}$ затухания, а также реактивный коэффициент нелинейности γ_τ . Вследствие наклона амплитудной кривой два условия устойчивости (11) и (26) так рассекают амплитудную кривую, что полоса синхронизации определяется неоднозначно при изменениях расстройки Δ от больших значений к меньшим и наоборот.

При пролетном угле $60-70^\circ$ и при изменении расстройки Δ от меньших значений к большим ширина полосы синхронизации может быть в 2—3 раза больше, чем в случае отсутствия запаздывания.

При изменениях Δ от больших значений к меньшим полоса параметрической синхронизации будет в первом приближении такой же, как и в случае отсутствия запаздывания.

В автоколебательной системе, частота колебаний которой не зависит от амплитуды (автогенератор с линейным контуром или автогенератор с нелинейным контуром и компенсирующим запаздыванием $\gamma_{\text{ли}} = \gamma - \gamma_\tau = 0$), ширина полосы параметрической синхронизации не зависит от параметров системы и равна полосе параметрического возмущения консервативной системы.

Максимальное приращение амплитуды ΔA_m в полосе параметрической синхронизации определяется глубиной модуляции параметра и нелинейным активным сопротивлением системы. Поэтому ΔA_m не зави-

сит от сопротивления контура и от величины нелинейности реактивного параметра. В то же время, при изменении запаздывания τ изменяется и $\delta_2\tau$; при изменении запаздывания ΔA_m существенно меняется.

Для автогенератора с нелинейным контуром и запаздыванием в обратной связи ($\gamma \neq \gamma_r$) амплитудные кривые в области параметрической синхронизации имеют наклон, и ширина области существенно зависит от направления изменения расстройки.

ЛИТЕРАТУРА

1. Тарантович А. С. «Изв. вузов», радиофизика, 11, № 7, 1046—1052, 1968.
2. Постников Л. В., Тарантович А. С. «Изв. вузов», радиофизика, 13, № 4, 568—577, 1970.
3. Исмаилов З. И., Рахимов Г. Р. ДАН УзССР, № 13, 13—16, 1968.
4. Иванов С. А. «Радиотехника и электроника», 15, № 3, 624—627, 1970.
5. Рубаник В. П. Колебания квазилинейных систем с запаздыванием. М., «Наука», 1969.

Поступила в редакцию
15.6 1971 г.

Кафедра
физики колебаний
